

平成 27 年 5 月 26 日現在

機関番号：16101

研究種目：挑戦的萌芽研究

研究期間：2013～2014

課題番号：25560200

研究課題名（和文）骨再生過程におけるコラーゲン動態の可視化と外部環境因子による組織化制御手法の検討

研究課題名（英文）Intelligent measurement and control of tissue collagen for bone tissue engineering

研究代表者

安井 武史 (Yasui, Takeshi)

徳島大学・ソシオテクノサイエンス研究部・教授

研究者番号：70314408

交付決定額（研究期間全体）：（直接経費） 2,900,000 円

研究成果の概要（和文）：骨は、体の中でも我々が動く時の『要』になる組織であり、骨の変形・痛み・骨折は、QOLを著しく低下させる。一方、骨代謝のスピードは極めて遅く、高齢者が骨組織を十分に増加させることは困難であることから、骨再生エンジニアリングの重要性が急速に増大している。

本研究では、骨生成・形成過程におけるコラーゲン動態を解明する手段としてSHG（第2高調波発生光）顕微鏡に着目し、コラーゲン構造成熟度が低い骨芽細胞産生コラーゲンを可視化できるレベルまで高感度化した。そして、骨芽細胞培養サンプルを4週間にわたりて時系列モニタリングし、骨生成・形成過程におけるコラーゲン動態を同一個体で明らかにした。

研究成果の概要（英文）：Since bone is the tissue that functions as a pivot of human body in the motion, its pain, deformities, and fractures reduce quality of life significantly. Therefore, there is a considerable need for bone tissue engineering because the bone metabolism is quite slow. Bone formation and regeneration are progressed as follows: First, osteoblasts produce collagen, which is extracellular matrix. Second, mineral is deposited between collagen fibers. For in vivo monitoring of the process, it is required to visualize the dynamics of collagen in the bone tissue without invasiveness.

Second-harmonic-generation microscopy (SHG-M) is a new tool for observing the collagen fiber in tissue in vivo. We enhanced the sensitivity of SHG-M by use of a 10-fs Ti:Sapphire laser to visualize osteoblasts-produced collagen fiber at good image contrast. Using this SHG-M, we clarified the temporal and spatial dynamics of collagen fibers produced by cultured osteoblasts during the cultured period of 4 weeks.

研究分野：非線形光学顕微鏡

キーワード：非線形光学顕微鏡 コラーゲン 骨 第2高調波発生光 再生エンジニアリング 骨芽細胞

1. 研究開始当初の背景

日本では、世界に類を見ない少子高齢化社会を迎え、労働力不足が深刻化している。この状況に対応するためには、高齢者世代が心身の機能の衰えや障害を乗り越えて、社会で活躍できる環境が望まれる。骨は、体の中でも我々が動く時の『要』になる組織であり、骨の変形・痛み・骨折は、QOL（Quality of life：生活の質）を著しく低下させる。しかし、骨の代謝のスピードは極めて遅く、1年で数%程度のサイクルでしか行われず（肌が1ヶ月弱で新しい皮膚に変えられていくのとは対照的に、10年程度を掛けて少しづつ新しい骨に入れ替わっていく）、高齢者で骨組織を十分に増加させることは困難である。このような背景から高齢化社会における骨再生エンジニアリングの重要性が急速に増大している。

骨は、骨芽細胞がコラーゲンを産生し、コラーゲンが高次構造（骨基質）を構築し、そこにミネラルが沈着することにより骨組織が形成（再生）されていく。現在、iPS細胞や中胚葉系細胞から、骨芽細胞に分化・再分化させることが可能になっている。しかし、骨芽細胞を単純に大量生産するだけでは、骨組織への高次構造化は進まない。骨細胞から骨組織へスケールアップしていくためには、両者を繋ぐ中間段階としてのコラーゲンの役割（骨芽細胞が増殖分化するための足場、骨の石灰化の基質など）が極めて大きい。更に、身体を支える支持体である骨は、形態のみならず、その3次元的な機械特性が極めて重要であり、骨の質が近年特に注目されている。骨質には細胞外マトリックスであるコラーゲンの濃度や配向が深く寄与してくる。このように、骨の再生エンジニアリングを細胞レベルから組織レベルに進めるためには、骨生成・形成過程におけるコラーゲン動態の解明が必要不可欠である。しかし、コラーゲンを生きたありのままの状態で可視化することは、容易ではなかった。

2. 研究の目的

近年、生体組織における生きたありのままの状態のコラーゲンを可視化する手段として 生体コラーゲン SHG (second-harmonic-generation: 第2高調波発生光) 顕微鏡が注目されている。SHG 顕微鏡では、コラーゲン分子固有の非線形光学特性を用いることにより、生きたありのままの状態のコラーゲン分子を可視化できる。従来の SHG 顕微鏡では、パルス幅 100fs 前後のモード同期 Ti:Sapphire (Ti:S) レーザーが広く使われてきたが、コラーゲンの構造成熟度が低い生体サンプル（例えば、細胞產生コラーゲンなど）では、一般に SHG 発生効率が低く、良好なコントラストのイメージを得ることは困難であるため、SHG 顕微鏡の高感度化を行う必要がある。レーザー照射による生体ダメージを考慮すると、レーザー平

均パワーを増大するのではなく、平均パワーを維持したままパルス幅を狭窄化することにより、ピーク強度を高くすることが望ましい。その結果、SHG 発生効率の低いサンプルでも、サンプルダメージを引き起こすことなく、SHG 光強度を増大させることが可能になる。最近では、パルス幅 10 fs 以下の Ti:S レーザーも市販されているが、このようなレーザー光源をそのまま SHG 顕微鏡に用いると、対物レンズ等の光学素子の分散により、パルス幅が数百 fs まで容易に拡がり、ピークパワーを逆に大きく低下させる。本研究では、SHG 顕微鏡の骨再生エンジニアリング分野への応用に向けて、10fs レーザー光に対して負分散チャーブミラーと正分散ウェッジプリズムで分散補償することにより、対物レンズ焦点位置におけるパルス幅を最短化し、SHG 顕微鏡の高感度化を試みた。その後、SHG 顕微鏡を用いて、骨形成（再生）過程をコラーゲン動態の観点から明らかにするため、骨芽細胞培養サンプルの SHG イメージングを行い、コラーゲン構造の可視化を行った。

3. 研究の方法

SHG 光は物質の構造非中心対称性に起因する非線形光学現象の一つである。ここでは、音と光の領域における線形・非線形現象と対比しながら、SHG 光発生のメカニズムを説明する。まず音の領域における現象の例として、ピアノ鍵盤を考える。図 1 左上側に示すようにピアノの鍵盤に軽く触ると、その鍵盤に対応した基本音（周波数=f）が発生する。これは、音の領域における線形現象と言える。しかし同じ鍵盤を力一杯叩くと、音が歪む。音が歪むということは、基本音以外に2倍の周波数を有する倍音（周波数=2f）も同時に発生することを意味する（図 1 右上側）。このような音の領域の非線形現象は、ピアノ構造の非線形な機械応答に起因している。同様な現象は、光の領域でも起こり、この場合には非中心対称性構造物質（非線形光学結晶やコラーゲン分子）がピアノ鍵盤、超短パルス光が力一杯叩くことに相当する（図 1 右下側）。例えば、赤色の超短パルス光（周波数 = ω 、波長 = λ ）を非中心対称性構造物質に入射すると、物質内で誘起された非線形分極波により、サンプルから出射される光電場が歪み、基本波以外に、周波数が2倍（波長が半分）の青色パルス光（周波数 = 2ω 、波長 = $\lambda/2$ ）が発生する。これが SHG 光である。このような SHG 光は、反射・屈折といった線形光学効果とは本質的に異なるメカニズムで発生し、波長オーダーの物質構造や局所環境の変化に敏感であるという特徴を有している。

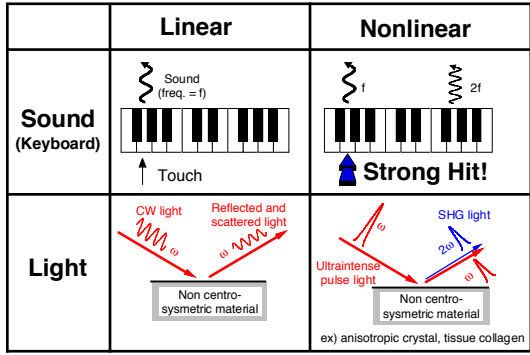


図 1 SHG 光の原理

コラーゲンの基本構造はポリペピチド鎖3重らせん構造からなるトロポコラーゲン(コラーゲン分子)であり、これが規則的に順次集合して階層的に太くなっていく。このようなコラーゲンは、その光波長オーダーでの非中心対称性構造(3重らせん構造および規則的配向構造)ゆえに、高い2次の非線形光学特性を有している。そのため、非常に高い瞬時ピークパワーを有するフェムト秒パルスレーザー光をコラーゲン含有生体組織に照射すると、非位相整合型SHG発生過程を介して、生体SHG光が特異的に発生する。例えば、骨組織にフェムト秒パルスレーザー光を照射した場合、生体SHG光を用いることにより骨組織におけるコラーゲン構造の選択的計測が可能になる(図2)。厳密には、コラーゲン以外に筋肉フィラメントや微小管といった生体構成物質もSHG光を発生するが、特にコラーゲンが高いSHG発生効率を有している上に、骨組織におけるこれらの物質の含有率を考慮すると、骨組織からの生体SHG光はコラーゲン由来のものであると言える。それ以外にも、バックグラウンド光(反射光、蛍光)との分離が容易、低侵襲、深浸透性、熱的ダメージが小さい、3次元イメージングが可能といった特徴を有している。最も重要なのは、コラーゲン分子固有の非線形光学特性を利用するため組織染色が不要であり、生きたありのままの状態での測定が可能なため、コラーゲン関連分野における有用なツールになることが期待される。

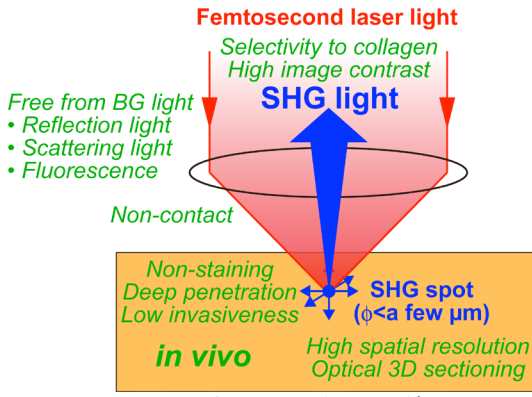


図 2 生体コラーゲン顕微鏡

4. 研究成果

(1) 10fs レーザーを用いた SHG 顕微鏡の高感

度化

レーザー光源には極短モード同期 Ti:S レーザー(パルス幅 10fs、中心波長 787nm、スペクトル幅 103nm、繰り返し周波数 81.8MHz)を用い、負分散可変チャープミラー(群遅延分散量: -900~ -6270fs²)と正分散可変ウェッジプリズム(群遅延分散量: 50.8~356 fs²)による群遅延分散補償により、対物レンズ焦点位置でのパルス幅を最短化した。SHG 顕微鏡の対物レンズ(水浸、NA=0.90、動作距離=2mm)焦点位置におけるパルス幅を評価するため、マイケルソン干渉計を組み込み、サンプル位置に蛍光色素溶液(ローダミン 6G 溶液)を配置した2光子蛍光(TPEF)自己相關計を構築した(図3)。マイケルソン干渉計の一方のアームの光路長を走査しながら、発生した2光子蛍光を検出することにより、自己相關波形を取得した。

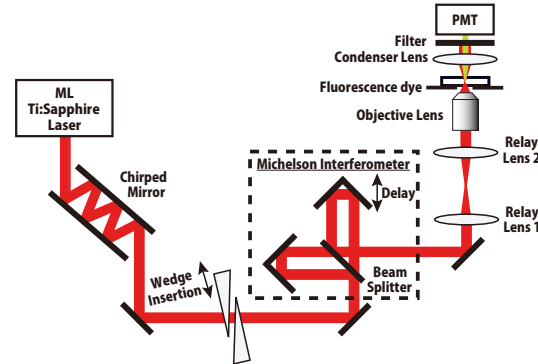


図 3 2光子蛍光(TPEF)自己相關計

図4は、群遅延分散を十分に補償した状態で計測した自己相關波形であり、これよりパルス幅が 18.9fs であることを確認した。レーザー出射直後のパルス幅(=10fs)に比べて、パルス幅が完全に戻りきっていない理由は、高次分散が今回の分散補償装置では十分に補償できないためであると考えられる。しかし、従来に 100fs レーザーと比べると 5 倍程度までパルス幅を狭窄化できているので、SHG 顕微鏡の高感度化が期待できる。

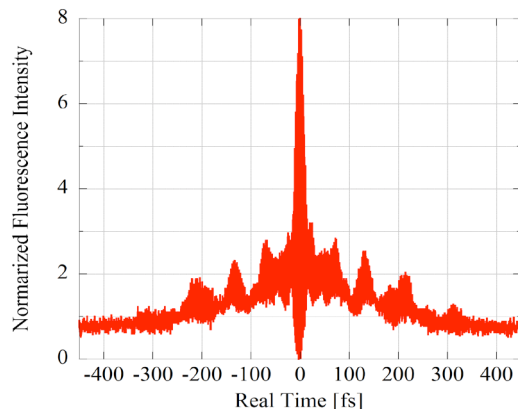


図 4 焦点位置における自己相關波形

(2) 骨芽細胞産生コラーゲンの可視化

SHG 顕微鏡の実験配置図を図5に示す。図4と同様な配置となっているが、マイケルソン干渉計とサンプル位置の蛍光色素溶液を

省いた。サンプルから発生した前方 SHG 光はコンデンサーレンズによって集光され、バンドパスフィルターを用いて SHG 光成分のみを抽出した後、フォトンカウンティング型光電子増倍管によって検出される。ガルバノミラーと 2 枚のリレーレンズを用いて、サンプル上の焦点スポットを 2 次元走査することにより、 $200\mu\text{m} \times 200\mu\text{m}$ の SHG イメージを取得できる。さらに、機械式ステージとの併用により、大面積 SHG イメージング ($800\mu\text{m} \times 800\mu\text{m}$) の取得も可能である。比較のため、同じ測定部位を、110fs レーザー光源（モード同期エルビウム・ファイバーレーザーの SHG 光）を用いて、同一測定部を計測出来るようにしている。

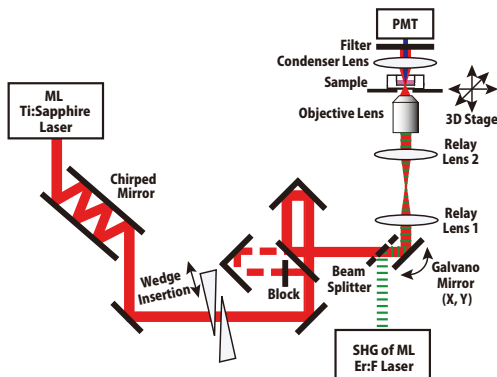
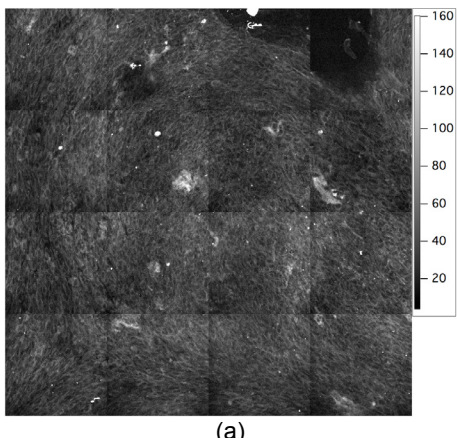
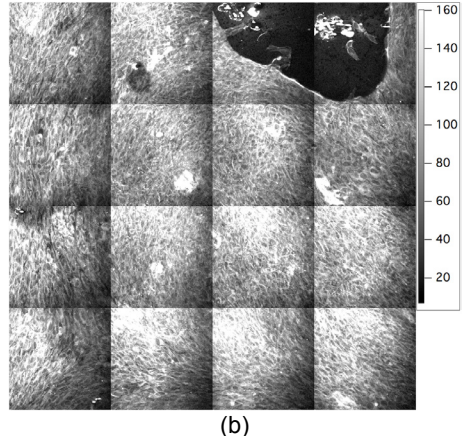


図 5 高感度 SHG 顕微鏡

測定に使用した細胞は、マウス頭蓋骨由来細胞株の骨芽細胞様細胞 MC3T3-E1 である。ストレッチチャンバーに細胞を播種した後、静地培養したサンプルを計測した。図 6 は、3 週間の間、静地培養した骨芽細胞産生コラーゲンを、10fs（平均パワー 20mW）レーザー及び 110fs レーザー（平均パワー 20mW）を用いて計測した SHG イメージ（サイズ $1\text{mm} \times 1\text{mm}$ ）を示している。両者を比較すると、10fs レーザーの利用により、SHG イメージのコントラストが大きく向上されていることが分かる。その結果、骨芽細胞コラーゲンの線維構造を、可視化できた。



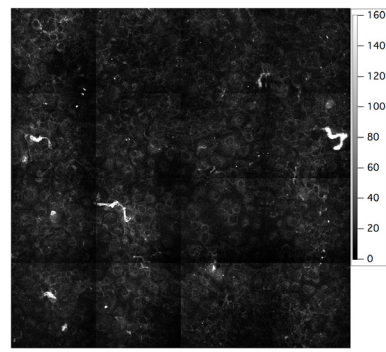
(a)



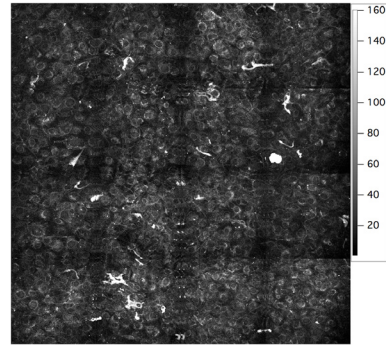
(b)

図 6 骨芽細胞産生コラーゲン線維の SHG イメージ。(a)110fs レーザー利用と(b)10fs レーザー利用

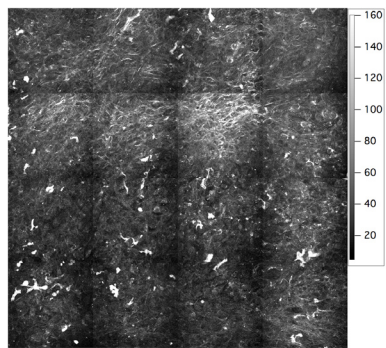
最後に、骨芽細胞産生コラーゲンの様子を、4 週間にわたって時系列モニタリングした結果を図 7 に示す。第 1 週では、円状の微弱な SHG 光が多く観測された。これは、コラーゲンが骨芽細胞内部に分布していることを示していると考えられる。第 2 週では、SHG 光強度が増大しており、これは骨芽細胞内部のコラーゲン濃度が向上していることを反映していると考えられる。第 3 週では、コラーゲンが骨芽細胞外部に産生され、線維構造を形成している様子が分かる。第 4 週では、コラーゲン線維構造が太く成長すると共に、線維構造の局在化も確認できる。このように、SHG 顕微鏡を用いることにより、骨芽細胞培養サンプルにおけるコラーゲン動態を、同一個体で可視化することに成功した。



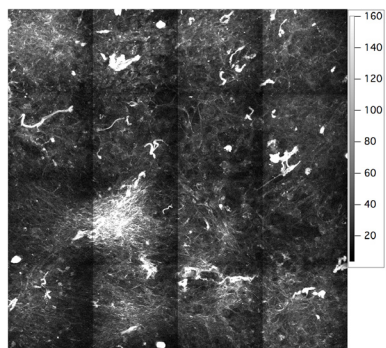
(a)



(b)



(c)



(d)

図7 骨芽細胞産生コラーゲン線維の時系列 SHG イメージ。(a)1週間後、(b)2週間後、(c)3週間後、(d)4週間後

以上をまとめると、10fs モード同期 Ti:S レーザーを用いた高感度 SHG 顕微鏡の構築し、精密な分散補償により、対物レンズ集光位置でのパルス幅 18.9fs を達成した。その結果、低 SHG 発生効率の骨芽細胞産生コラーゲンの SHG イメージングに成功した。さらに、骨芽細胞培養過程におけるコラーゲン動態を時系列で可視化した。

5. 主な発表論文等

〔雑誌論文〕（計4件）

- ① Y. Tanaka, E. Hase, S. Fukushima, Y. Ogura, T. Yamashita, T. Hirao, T. Araki, and T. Yasui, "Motion-artifact-robust, polarization-resolved second-harmonic-generation microscopy based on rapid polarization switching with electro-optic Pockells cell and its application to visualization of collagen fiber orientation in human facial skin," *Biomed. Opt. Express*, 査読有, Vol. 5, Iss. 4, pp. 1099–1113 (2014).
- ② 安井 武史, 『SHG(第二高調波発生光)顕微鏡』, 光アライアンス, 査読無, Vol. 25, No. 3, pp. 46-50 (2014).
DOI: 10.1117/1.JBO.18.6.061231
- ③ 安井 武史, 荒木 勉, 『偏光分解 SHG 顕微鏡による真皮コラーゲン配向のイメージング』, レーザー研究, 査読有, Vol. 41, No.

8, pp. 601-605 (2013).

- ④ R. Tanaka, S. Fukushima, K. Sasaki, Y. Tanaka, H. Murota, T. Matsumoto, T. Araki, and T. Yasui, "In vivo visualization of dermal collagen fiber in skin burn by collagen-sensitive second-harmonic-generation microscopy," *J. Biomed. Opt.*, 査読有, Vol. 18, No. 6, art. 061231 (2013).
DOI: 10.1364/BOE.5.001099

〔学会発表〕（計15件）

- ① E. Hase, K. Sato, and T. Yasui, "In vivo visualization of collagen fiber produced by cultured osteoblasts using sensitive second-harmonic-generation microscopy equipped with a 10-fs mode-locked Ti:sapphire laser", *BiOS 2015 (Photonic West 2015)*, 2015/2/7-12 (San Francisco, USA).
- ② 長谷栄治, 高橋光彦, 安井武史, "生体コラーゲン SHG 顕微鏡を用いた腱修復のモニタリング", 日本機械学会 第27回バイオエンジニアリング講演会, 2015/1/9~10, 朱鷺メッセ (新潟県・新潟市).
- ③ 長谷栄治, 佐藤克也, 安井武史, "SHG (第2高調波発生光) 顕微鏡を用いた骨芽細胞産生コラーゲンのその場観察", *Optics & Photonics Japan 2014*, 2014/11/5-7, 筑波大学東京キャンパス文京校舎 (東京都・文京区).
- ④ 厚田耕佑, 田中佑治, 長谷栄治, 福島修一郎, 荒木勉, 安井武史, "SHG/THG 顕微鏡を用いた切創治癒過程の in situ 時系列モニタリング", *Optics & Photonics Japan 2014*, 2014/11/5-7, 筑波大学東京キャンパス文京校舎 (東京都・文京区).
- ⑤ 厚田耕佑, 田中佑治, 長谷栄治, 福島修一郎, 荒木勉, 安井武史, "生体コラーゲン顕微鏡を用いた創傷治癒過程の in vivo 時系列モニタリング", 生体医工学シンポジウム 2014, 2014/9/26-27, 東京農工大学 (東京都・小金井市) .
- ⑥ 長谷栄治, 佐藤克也, 安井武史, "高感度 SHG 顕微鏡を用いた骨芽細胞産生コラーゲンの可視化", 生体医工学シンポジウム 2014, 2014/9/26-27, 東京農工大学 (東京都・小金井市) .
- ⑦ 長谷 栄治, 佐藤克也, 藤澤正一郎, 安井 武史, "生体コラーゲン SHG(第2高調波発生)顕微鏡を用いた骨芽細胞産生コラーゲンの可視化", 日本機械学会 2014 年度年次大会, 2014/9/7-10, 東京電機大学 (東京都・足立区) .
- ⑧ 安井 武史, "生きたありのままのコラーゲンを染めずにそのまま観る (生体コラーゲン SHG 顕微鏡)", 第46回結合組織学会/第61回日本マトリックス研究会 合同

- 学術集会, 2014/6/5-7, ウィンクあいち(愛知県・名古屋市) .
- ⑨ 田中佑治, 長谷栄治, 福島修一郎, 安井武史, 荒木勉, "電気光学的偏光分解 SHG 顕微鏡を用いたヒト真皮コラーゲン配向の *in vivo* 計測", 第 61 回応用物理学会春季学術講演会, 2014/3/17-20, 青山学院大学 (神奈川県・相模原市) .
- ⑩ 長谷栄治, 佐藤克也, 高橋光彦, 安井武史, "10fs レーザーを用いた生体コラーゲン SHG 顕微鏡の高感度化", 第 61 回応用物理学会春季学術講演会, 2014/3/17-20, 青山学院大学 (神奈川県・相模原市) .
- ⑪ T. Yasui, "In vivo time-lapse imaging of skin burn wound healing using second-harmonic generation microscopy", BiOS 2014 (Photonic West 2014), 2014/2/1-6 (San Francisco, USA).
- ⑫ 安井武史, "第 2 高調波発生光顕微鏡を用いた真皮コラーゲン線維の *in vivo* 計測", 応用物理学会・量子エレクトロニクス研究会「バイオ・メディカルフォトニクス: 基礎と応用の最前線」, 2013/12/20-22, 上智大学軽井沢セミナーハウス (長野県・北佐久郡軽井沢町) .
- ⑬ T. Yasui, "Dermatological applications *in vivo* using second-harmonic-generation microscopy equipped with a 1250-nm mode-locked Cr:Forsterite laser," Optics & Photonics Japan 2013, 2013/11/12-14, 奈良県新公会堂 (奈良県・奈良市) .
- ⑭ 長谷 栄治, 佐藤 克也, 高橋 光彦, 安井 武史, "10 フェムト秒レーザーを用いた生体コラーゲン SHG 顕微鏡の高感度化", 生体医工学シンポジウム 2013 , 2013/9/20-21, 九州大学 (福岡県・福岡市・西区) .
- ⑮ Y. Tanaka, E. Hase, S. Fukushima, T. Yasui, and T. Araki, "Fast polarization-resolved SHG microscopy for *in vivo* imaging of collagen orientation," Pacific Rim Conference on Lasers and Electro-Optics 2013, 2013/6/30-7/4 (Kyoto International Conference Center, Kyoto, Japan).

[図書] (計 1 件)

- ① 安井武史, 技術情報協会, "第 5 章第 2 節 皮膚(真皮)のコラーゲン量を測定したい", 皮膚の測定・評価法バイブル (分担執筆) , 2013, 740 頁, pp. 156-166.

[その他]

ホームページ等

徳島大学工学部機械工学科安井研究室 WEB
<http://femto.me.tokushima-u.ac.jp>

6. 研究組織

(1) 研究代表者

安井 武史 (YASUI, Takeshi)

徳島大学・大学院ソシオテクノサイエンス

研究部・教授

研究者番号: 70314408

(2) 研究分担者

佐藤 克也 (SATO, Katsuya)

徳島大学・大学院ソシオテクノサイエンス

研究部・講師

研究者番号: 10403651

高橋 光彦 (TAKAHASHI, Mitsuhiko)

徳島大学・大学院ヘルスバイオサイエンス

研究部・講師

研究者番号: 10372715

(2015/3/18 削除)